



Fachhochschul-Bachelorstudiengang  
**SOFTWARE ENGINEERING**  
A-4232 Hagenberg, Austria

# Bachelorarbeit

zur Erlangung des akademischen Grades  
Bachelor of Science in Engineering

Eingereicht von

**Peter Paul Ortner**

Hagenberg, September 2015

# Inhalt

## Teil 1:

3D Modellierung von Oberflächen mittels Marching Cubes  
Algorithmus und generische Darstellung mittels OpenGL

Seite Nr. 2

## Teil 2:

Nutzerdatensammlung und Datenvisualisierung während  
eines Entwicklungszyklus

Seite Nr.

## **Eidesstattliche Erklärung**

Ich erkläre eidesstattlich, dass ich die vorliegende Arbeit selbstständig und ohne fremde Hilfe verfasst, andere als die angegebenen Quellen nicht benutzt und die den benutzten Quellen entnommenen Stellen als solche gekennzeichnet habe. Die Arbeit wurde bisher in gleicher oder ähnlicher Form keiner anderen Prüfungsbehörde vorgelegt.

Datum,        07.09.2015

Unterschrift



Fachhochschul-Bachelorstudiengang  
**SOFTWARE ENGINEERING**  
A-4232 Hagenberg, Austria

# **3D Modellierung von Oberflächen mittels Marching Cubes Algorithmus und generische Darstellung mittels OpenGL**

Bachelorarbeit  
Teil 1

zur Erlangung des akademischen Grades  
Bachelor of Science in Engineering

Eingereicht von

**Peter Paul Ortner**

Begutachter: FH-Prof. DI Dr. Werner Backfrieder

Hagenberg, September 2015

# Inhaltsverzeichnis

<b>Kurzfassung</b>	<b>vii</b>
<b>Abstract</b>	<b>viii</b>
<b>1 Einleitung</b>	<b>1</b>
1.1 Aufgabenstellung . . . . .	1
1.2 Motivation . . . . .	1
1.3 Zielsetzung . . . . .	1
<b>2 Allgemeine Einführung</b>	<b>3</b>
2.1 Bildgebende Verfahren . . . . .	3
2.2 Volumengrafik . . . . .	3
2.3 Marching Cubes . . . . .	4
2.3.1 Formale Definition . . . . .	4
2.3.2 Funktionsweise . . . . .	5
2.4 Dateiformate . . . . .	7
2.4.1 Image File (.img) . . . . .	7
2.4.2 Header File (.hdr) . . . . .	8
2.4.3 STereoLithography (.stl) . . . . .	10
2.5 Computergrafik . . . . .	11
2.5.1 OpenGL . . . . .	12
<b>3 Umsetzung</b>	<b>13</b>
3.1 Marching Cubes . . . . .	13
3.1.1 Allgemein . . . . .	13
3.1.2 Klasse . . . . .	14
3.1.3 Verwendung . . . . .	15
3.2 File Formate . . . . .	15
3.2.1 Allgemein . . . . .	15
3.2.2 Image File (.img) . . . . .	15
3.2.3 Header File (.hdr) . . . . .	15
3.2.4 STereoLithography (.stl) . . . . .	15
3.2.5 Klasse . . . . .	16
3.3 OpenGL . . . . .	18

Inhaltsverzeichnis	vi
--------------------	----

3.3.1 Allgemein . . . . .	18
3.3.2 Schnittstelle (Klasse) . . . . .	18
3.3.3 Auszüge Implementierung . . . . .	18
3.4 Benutzeroberfläche . . . . .	18

<b>4 Zusammenfassung</b>	<b>21</b>
--------------------------	-----------

<b>Literaturverzeichnis</b>	<b>22</b>
-----------------------------	-----------

<b>A Inhalt der CD-ROM</b>	<b>23</b>
----------------------------	-----------

A.1 PDF-Dateien . . . . .	23
A.2 LaTeX-Dateien . . . . .	23
A.3 Style/Class-Dateien . . . . .	23
A.4 Implementierung . . . . .	24
A.5 Sonstiges . . . . .	24

# Kurzfassung

In der computergestützten Bildverarbeitung gibt es diverse Möglichkeiten für die Darstellung von dreidimensionalen Objekten. Die wohl am weitesten verbreitete Darstellungsform ist die polygonale Darstellung. Diese Form der Aufbereitung zerlegt ein gegebenes Objekt in Dreiecke.

Ein weiteres Verfahren ist die Methode der Modellierung via einer so genannten Voxel-Datenmenge. Jedoch birgt diese, im Bezug auf die digitale Verarbeitung, einige Nachteile gegenüber der polygonalen Darstellungsform. Vordergründige Probleme hierbei sind der vergleichsweise hohe Speicherverbrauch der Modelle, die Visualisierung benötigt länger und Objektmanipulationen erweisen sich als schwieriger.

Da in der Medizin im Bereich der bildgebenden Systeme wie der Computertomografie von Natur aus solche Voxel-Modelle erzeugt werden, besteht die Anforderung auch diese nach Möglichkeit schnell und Aussagekräftig darzustellen.

Um diesen Anforderungen an die Darstellung gerecht zu werden bietet sich der so genannte Marching-Cubes Algorithmus an. Dieser ermöglicht es eine Voxel-Datenmenge in eine polygonale Darstellung zu überführen.

# Abstract

Considering the computer based image processing there are multiple possibilities to represent three-dimensional objects. The most common way to illustrate these objects is the polygonal approach. This approach fragments an object into triangles.

An other possible procedure to model objects is to represent them as a voxel grid. But if we consider the ability to process this kind of representation we have to face some disadvantages. The main problems are: the model needs a comparatively high amount of disk space, it takes much longer to show the image and it is difficult to perform manipulations on the object.

In the field of Medical imaging such as computed tomography creates such voxel models, these should be presented quickly and meaningfully.

To implement these requirements on the presentation we have to transform voxel grids into polygon objects. The so called marching cubes algorithm can achieve this goal.



# Kapitel 1

## Einleitung

### 1.1 Aufgabenstellung

In der medizinischen Diagnostik wird im Gegensatz zu CAD-Konstruktionen die dreidimensionale Gestalt anatomischer Details aus Volumsbildern abgeleitet. Durch vorangegangene Segmentierung werden binäre Objekte erzeugt, d.h. das Objekt ist wie eine Lego-Figur aufgebaut. Mit dem Marching Cubes Algorithmus wird aus diesem binären Volumen eine Oberfläche, die aus Dreiecken besteht aufgebaut. Diese Oberfläche wird in einem binären STL-Format persistiert und anschließend mit einem generischen Rendering als 3D-Objekt dargestellt.

Anforderungen: C/C++ Implementierung des MC-Algorithmus (Matlab-Version vorhanden), Konversion in STL-Format, OpenGL Visualisierung.

### 1.2 Motivation

Da moderne Grafikchips für die Darstellung von polygonalen Modellen ausgelegt sind, ist es sinnvoll die aus der medizinischen Diagnostik erhaltenen Voxel-Modelle, für spätere Verarbeitung, in diese Form zu überführen. Ein weiterer Vorteile neben der vereinfachten Verarbeitung und Darstellungsform von Polygonen liegt in dem vergleichsweise geringen Speicherbedarf eines solchen Objektes.

### 1.3 Zielsetzung

Ziel dieser Arbeit ist es, die aus bildgebenden Verfahren der Medizin erhaltenen Voxel-Mengen mithilfe des Marching Cubes Algorithmus in eine Polygonale Darstellung zu überführen. Als Input werden die Daten welche

von dem Programm Analyze (7.5)<sup>1</sup> erzeugten werden (Image und Header File) verwendet. Die Voxel-Menge welche in der Image-Datei abgelegt ist wird ausgelesen und mithilfe des Marching Cubes Algorithmus in Polygone zerlegt. Nach erfolgreicher Umwandlung wird die erhaltene Datenmenge via OpenGL dargestellt. Des Weiteren soll das Modell als STL-Datei exportiert werden können. Die gesamte Umsetzung erfolgt in der Programmiersprache C++.

---

<sup>1</sup><https://rportal.mayo.edu/bir/>

## Kapitel 2

# Allgemeine Einführung

### 2.1 Bildgebende Verfahren

”Die Medizinische Bildverarbeitung hat das Ziel, medizinische Bilder und Bildfolgen zur Unterstützung der medizinischen Diagnostik und Therapie aufzubereiten, zu analysieren und zu visualisieren.” - [Hadels, 2000]

Die verschiedenen medizinischen Verfahren können in die Art der erzeugten Bilddaten eingeteilt werden:

- **Schnittbilder** z.B. mittels Computertomografie, Magnetresonanztomografie oder Röntgentomografie.
- **Projektionsbilder** z.B. durch ”klassisches” Röntgen.
- **Oberflächenabbildungen** z.B. durch Rastertunnelmikroskop.

Da das Hauptaugenmerk dieser Arbeit liegt auf der aus den tomographischen Verfahren erhaltenden Schnittbildern, welche als sogenannte Voxel-Daten gespeichert werden. Ein vollständiges dreidimensionales Bild besteht aus mehreren solcher übereinandergelegten Schnittbildern.

### 2.2 Volumengrafik

Unter Volumengrafik versteht man in der Computergrafik die Darstellung von Objekten durch eine Menge von Voxeln.

Ein solches Voxel ist als ein einzelner Punkt in einem dreidimensionalen Objekt zu verstehen, welcher einen gewissen Isowert aufweist. Dieser Wert ist essentiell um z.B. bei den tomographischen Verfahren in der Medizin die festeren von den weicheren teilen eines Körpers zu unterscheiden (z.B. Knochen und Gewebe). In Abbildung 2.1 ist eine solche Voxel-Menge zusehen die verschiedenen Grauwerte der einzelnen Bildpunkte stellen dabei die unterschiedlichen Isowert dar.

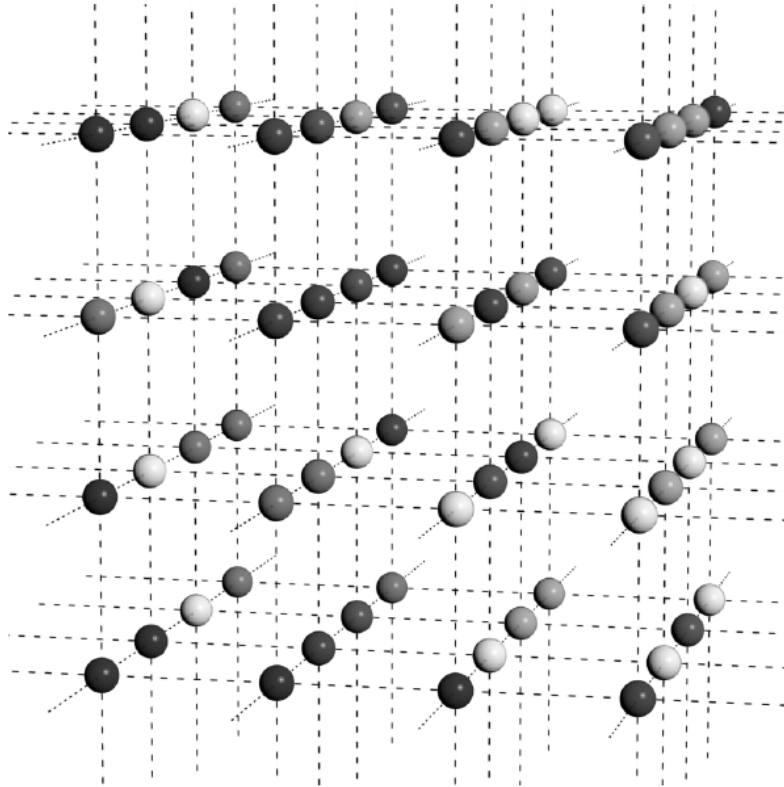


Abbildung 2.1: Ein Voxelgitter [Seibt, 2014].

## 2.3 Marching Cubes

Da der Marching Cubes Algorithmus das zentrale Element dieser Arbeit bildet wird hier seine Grundform wie sie in [Lorensen u. Cline, 1987] beschrieben ist nochmals genau erörtert.

### 2.3.1 Formale Definition

”Der Marching Cubes Algorithmus ist ein Algorithmus um eine Isofläche  $S_c$  eines Objektes, dass in einem Skalarfeld  $\varphi : \mathbb{R}^n \rightarrow \mathbb{R}$  beschrieben wird durch Dreiecke zu approximieren. Der Isowert  $c \in \mathbb{R}$  beschreibt die gemeinsame Eigenschaft des Objektes wie z.B. gleiche Dichte, Temperatur oder emittierter Strahlung.”

[Wollmann, 2013]

Durch den Marching Cubes Algorithmus wird für eine Isofläche  $S_c$  (s. 2.1) eine endliche Menge an Datenpunkten  $P \subset \mathbb{R}^n \times \mathbb{R}$  zur Approximation von

$S_c$  erzeugt (vgl. [Hansen u. Johnson, 2005]).

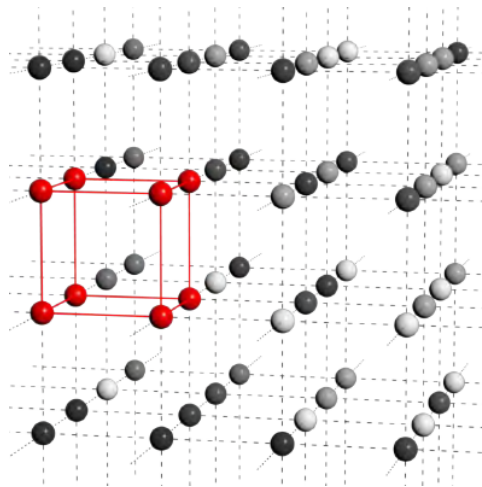
$$S_c := \{\vartheta \in \mathbb{R}^n \mid \varphi(\vartheta) = c\} \quad (2.1)$$

### 2.3.2 Funktionsweise

Wie der Name des Algorithmus bereits sagt wird durch die Voxel-Menge "marschiert". Die Input-Menge des Algorithmus umfasst 8 aneinander grenzende Punkte der Voxel-Menge welche zusammen einen Würfel bilden sowie eines Schwellwerts für den Isowert. Nach erfolgreicher Verarbeitung wird zum nächsten Würfel gewandert ("marschiert") bis die gesamte Datenmenge abgearbeitet wurde.

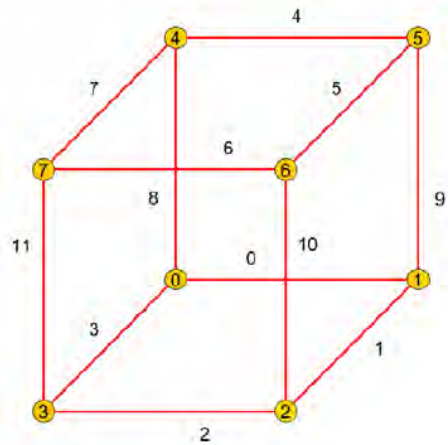
#### Vorbereitung

Wie bereits erwähnt wird der Algorithmus für jeden einzelnen Würfel der gesamten Menge angewendet. Für ein besseres Verständnis zeigt Abbildung 2.2 einen solchen Würfel (rot) in einem Voxelgitter.



**Abbildung 2.2:** Ein Würfel im Voxelgitter [Seibt, 2014].

Als erster Schritt im Algorithmus werden nun die Ecken und Kanten des Würfels für die spätere Verarbeitung indiziert (s. Abbildung 2.3).



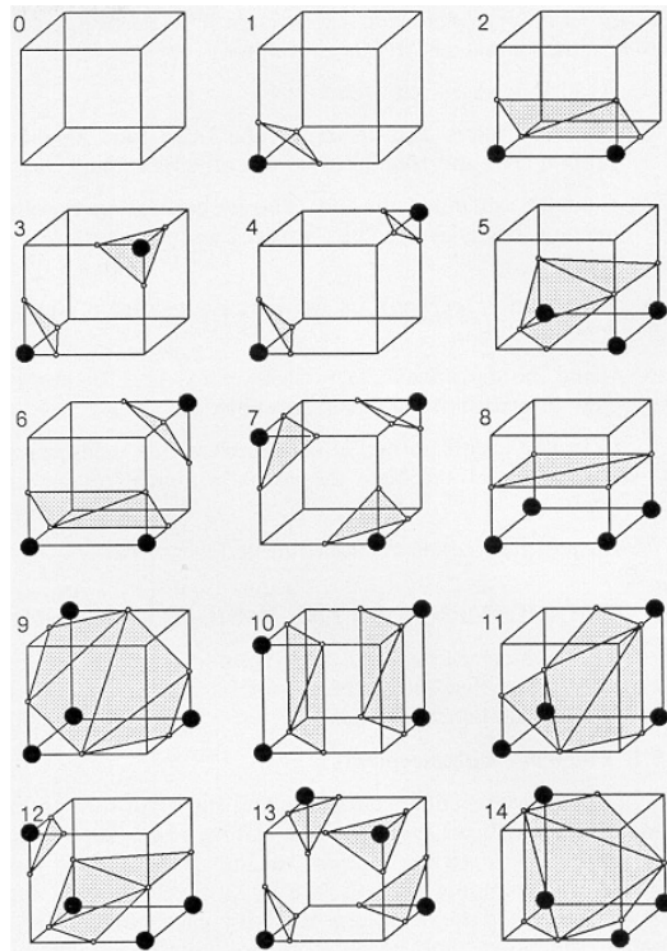
**Abbildung 2.3:** Indizierung eines Würfels [Seibt, 2014].

Jede Ecke des Würfels kann aufgrund seines Isowertes als Solide bzw. Transparent klassifiziert werden. Folglich sind aufgrund der Zwei möglichen Werte jeder Ecke  $2^8 = 256$  unterschiedliche Konfigurationen der Eingabemenge möglich. Jede dieser Konfigurationen kann als ein 8 Bit Muster dargestellt werden wobei gilt, dass jedes Bit  $i$  bei welchem der Isowert  $d_i$  des dazugehörigen Voxel einen gewissen Schwellwert  $c$  überschreitet als binäre 0 interpretiert wird. Für die Werte kleiner gleich des Schwellwertes wird eine Binäre 1 angenommen.

Betrachtet man nun dieses Bitmuster als natürliche Zahl erhält man einen sogenannten Würfelindex zwischen 0 und 255 welcher für die weitere Verarbeitung essentiell ist.

### Verarbeitung

Aufgrund der Symmetrie eines Würfels können durch Rotation bzw. Spiegelung die Anzahl der 255 möglichen Anordnungen der Voxeln auf 15 unterschiedliche Konfigurationen reduziert werden. Diese 15 Konfigurationen sind in Abbildung 2.4 zu sehen.



**Abbildung 2.4:** Marching Cubes Grundkonfigurationen [Lorensen u. Cline, 1987].

## 2.4 Dateiformate

Die zu dieser Arbeit herangezogenen Dateiformate sind einerseits die von dem Softwarepaket Analyze<sup>1</sup> verwendeten Image und Header Files sowie die sogenannte STereoLithography-Schnittstelle.

### 2.4.1 Image File (.img)

Diese Datei ist vergleichsweise einfach aufgebaut und enthält ein Objekt bestehend aus (normalerweise) unkomprimierten Pixel Daten (vgl. [Mayo, 2015]). Jedes Pixel repräsentiert eine Voxel mit dem dazugehörigen Isowert.

<sup>1</sup><https://rportal.mayo.edu/bir/>

Das gesamte Objekt kann somit in eine 3x3 Matrix eingelesen und verarbeitet werde.

### 2.4.2 Header File (.hdr)

Diese Datei beschreibt die Ausmaße der Pixel-Datei sowie ihre Historie. (vgl. [Mayo, 2015]).

Die genaue Struktur nach [Mayo, 2015] ist in drei Teilbereiche aufgeteilt. Der erste Teil ist der sogenannte "header key" und beinhaltet allgemeine Informationen bezüglich der Datei (s. 2.1). Der zweite Teil beinhaltet Informationen bezüglich der Dimension der Image-Datei(s. 2.3. Der dritte und letzte Abschnitt hält Informationen bezüglich der Historie (s. 2.2).

**Programm 2.1:** Header key als C-Struktur [Mayo, 2015]

```
1 struct header_key /* header key */
2 { /* off + size */
3     int sizeof_hdr /* 0 + 4 */
4     char data_type[10]; /* 4 + 10 */
5     char db_name[18]; /* 14 + 18 */
6     int extents; /* 32 + 4 */
7     short int session_error; /* 36 + 2 */
8     char regular; /* 38 + 1 */
9     char hkey_un0; /* 39 + 1 */
10 }; /* total=40 bytes */
11
```



**Programm 2.2:** Data history als C-Struktur [Mayo, 2015]

```
1 struct data_history
2 { /* off + size */
3   char descrip[80]; /* 0 + 80 */
4   char aux_file[24]; /* 80 + 24 */
5   char orient; /* 104 + 1 */
6   char originator[10]; /* 105 + 10 */
7   char generated[10]; /* 115 + 10 */
8   char scannum[10]; /* 125 + 10 */
9   char patient_id[10]; /* 135 + 10 */
10  char exp_date[10]; /* 145 + 10 */
11  char exp_time[10]; /* 155 + 10 */
12  char hist_un0[3]; /* 165 + 3 */
13  int views /* 168 + 4 */
14  int vols_added; /* 172 + 4 */
15  int start_field; /* 176 + 4 */
16  int field_skip; /* 180 + 4 */
17  int omax, omin; /* 184 + 8 */
18  int smax, smin; /* 192 + 8 */
19 };
20
```

**Programm 2.3:** Image Dimension als C-Struktur [Mayo, 2015]

```

1 struct image_dimension
2 { /* off + size */
3     short int dim[8]; /* 0 + 16 */
4     short int unused8; /* 16 + 2 */
5     short int unused9; /* 18 + 2 */
6     short int unused10; /* 20 + 2 */
7     short int unused11; /* 22 + 2 */
8     short int unused12; /* 24 + 2 */
9     short int unused13; /* 26 + 2 */
10    short int unused14; /* 28 + 2 */
11    short int datatype; /* 30 + 2 */
12    short int bitpix; /* 32 + 2 */
13    short int dim_un0; /* 34 + 2 */
14    float pixdim[8]; /* 36 + 32 */
15    /*
16     pixdim[] specifies the voxel dimensions:
17     pixdim[1] - voxel width
18     pixdim[2] - voxel height
19     pixdim[3] - interslice distance
20     ... etc
21     */
22    float vox_offset; /* 68 + 4 */
23    float funused1; /* 72 + 4 */
24    float funused2; /* 76 + 4 */
25    float funused3; /* 80 + 4 */
26    float cal_max; /* 84 + 4 */
27    float cal_min; /* 88 + 4 */
28    float compressed; /* 92 + 4 */
29    float verified; /* 96 + 4 */
30    int glmax, glmin; /* 100 + 8 */
31 }; /* total=108 bytes */
32

```

**2.4.3 STereoLithography (.stl)**

”The STL (STereoLithography) file format, as developed by 3D Systems, has been widely used by most Rapid Prototyping (RP) systems and is supported by all major computer-aided design (CAD) systems.” - [Chua u. a., 1997]

Eine STL-Datei besteht im Prinzip aus einer Liste von Dreiecken. Jedes Dreieck wird durch seine drei Eckpunkte im Raum (jeweils x, y und z Position) sowie durch seinen Normalvektor beschrieben. Dies führt folglich zu einer Summe von 12 Werten pro Dreieck.

Zum besseren Verständnis kann in Abbildung 2.5 der Aufbau einer solchen

Datei als ASCII Darstellung betrachtet werden.

```

solid name
{
  facet normal  $n_i$   $n_j$   $n_k$ 
  {
    outer loop
    vertex  $v1_x$   $v1_y$   $v1_z$ 
    vertex  $v2_x$   $v2_y$   $v2_z$ 
    vertex  $v3_x$   $v3_y$   $v3_z$ 
    endloop
  }
  endfacet
}
endsolid name

```

Abbildung 2.5: ASCII Darstellung des STL-Format [Fabbers, 2015].

Für ein besseres Verständnis hinsichtlich der Implementierung ist in Abbildung 2.6 der Binäre Aufbau des STL-Formates zu dargestellt.

Bytes	Data type	Description
80	ASCII	Header. No data significance.
4	unsigned long integer	Number of facets in file
{           4 4 4 4 4 4 4 4 4 4 4 4 }	float	$i$ for normal
	float	$j$
	float	$k$
	float	$x$ for vertex 1
	float	$y$
	float	$z$
	float	$x$ for vertex 2
	float	$y$
	float	$z$
	float	$x$ for vertex 3
	float	$y$
	float	$z$
2	unsigned integer	Attribute byte count

Abbildung 2.6: Binäre Darstellung des STL-Format [Fabbers, 2015].

## 2.5 Computergrafik

Computergrafik beschreibt das computergestützte Erstellen und Verarbeiten von Grafiken (vgl. [Shirley u. Marschner, 2009]). In dieser Arbeit wird auf

die Verarbeitung und insbesondere auf die Darstellung von dreidimensionalen Objekten als Polygon-Menge zurückgegriffen. Zu diesem Zweck bieten sich diverse Programmierschnittstellen wie OpenGL<sup>2</sup>, Direct3D<sup>3</sup> oder AMD Mantle<sup>4</sup> an, welche für Grafikausgaben genutzt werden können. Aufgrund der Aufgabenstellung wird in dieser Arbeit OpenGL verwendet.

### 2.5.1 OpenGL

”OpenGL (for “Open Graphics Library”) is a software interface to graphics hardware. The interface consists of a set of several hundred procedures and functions that allow a programmer to specify the objects and operations involved in producing high-quality graphical images, specifically color images of three-dimensional objects.” - [Segal u. Akeley, 2009]

OpenGL ermöglicht eine verhältnismäßig einfache Plattform unabhängige Grafikprogrammierung. Da es sich um eine reine Grafikkbibliothek handelt kümmert sich OpenGL nicht um die Verwaltung von Zeichenoberflächen, Renderkontexten oder weitere Puffer. Um OpenGL vernünftig mit einem Betriebssystem zu verwenden existieren daher verschiedene Bibliotheken. Die in dieser Arbeit verwendete Bibliothek ist QT. Die hierfür sind die Unabhängigkeit bezüglich Betriebssystem, die Aktualität der Bibliothek sowie die hohe Verbreitung dieser.

---

<sup>2</sup><https://www.opengl.org/>

<sup>3</sup>[https://msdn.microsoft.com/en-us/library/windows/desktop/bb153256\(v=vs.85\).aspx](https://msdn.microsoft.com/en-us/library/windows/desktop/bb153256(v=vs.85).aspx)

<sup>4</sup><http://www.amd.com/de-de/innovations/software-technologies/technologies-gaming/mantle>

## Kapitel 3

# Umsetzung

Im Rahmen dieser Arbeit entstand ein in C++ geschriebenes Programm welches den Marching Cubes Algorithmus auf eine Voxelmenge anwendet und das Resultat via OpenGL visualisiert. Des Weiteren ist es möglich das verarbeitete Model als STereoLithography (.stl) Datei zu exportieren.

### 3.1 Marching Cubes

Der Marching Cubes Algorithmus ist das Herzstück der entstandenen Applikation er ermöglicht die Umrechnung der gegebenen Voxel Datenmenge in eine polygonale Darstellung welche sich im später vergleichsweise einfach darstellen lässt.

#### 3.1.1 Allgemein

Die Implementierung ist eine angepasst Version der von [ref] bereitgestellten Umsetzung. Die wesentlichen Änderungen sind die Auslagerung der Funktionen in eine eigenen Klasse und das verwenden anderer Datenstrukturen. Durch die Umstellung auf STL-Behälter und der daraus folgende Verzicht auf C-Strukturen welche zur Laufzeit immer neuen Speicher anfordern konnte die Geschwindigkeit enorm erhöht werde.

### 3.1.2 Klasse

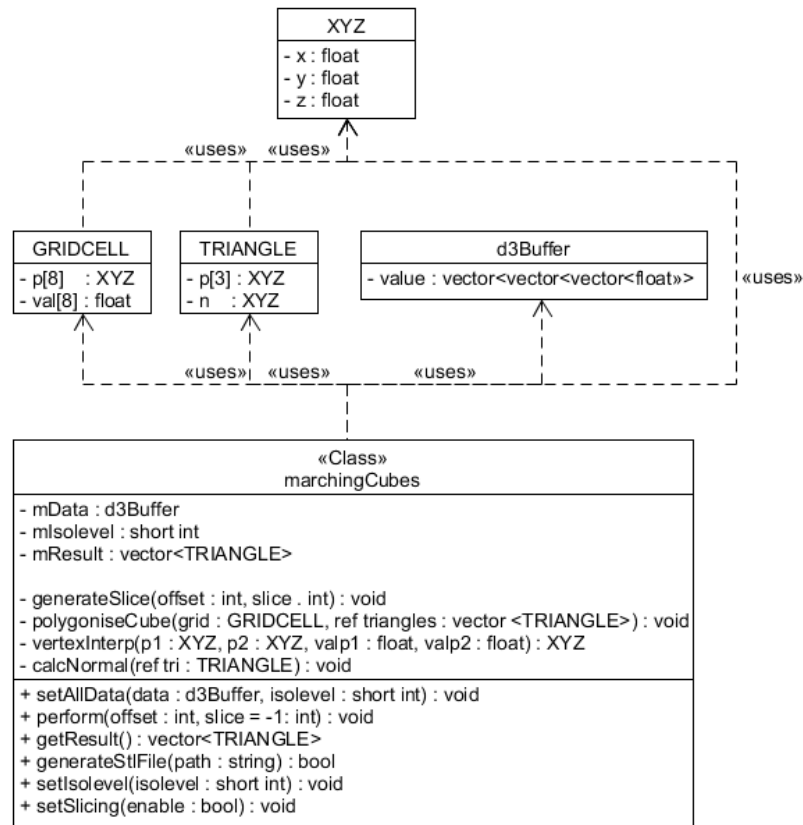


Abbildung 3.1: UML-Diagramm der marchingCubes Klasse

### Datentypen

Neben den üblichen Datentypen wurden zur Vereinfachung komplexere Strukturen verwendet.

- **XYZ** beschreibt einen Punkt im dreidimensionalen Raum.
- **GRIDCELL** ist die Repräsentation eines Voxel-Würfels.
- **TRIANGLE** Repräsentiert ein Dreieck mithilfe seiner drei Eckpunkte und seiner Normalen.
- **3dBuffer** bildet ein Voxelgitter als dreidimensionalen Vektor im Speicher ab.

### **3.1.3 Verwendung**

## **3.2 File Formate**

### **3.2.1 Allgemein**

### **3.2.2 Image File (.img)**

### **3.2.3 Header File (.hdr)**

### **3.2.4 STereoLithography (.stl)**

### **3.1**

## 3.2.5 Klasse

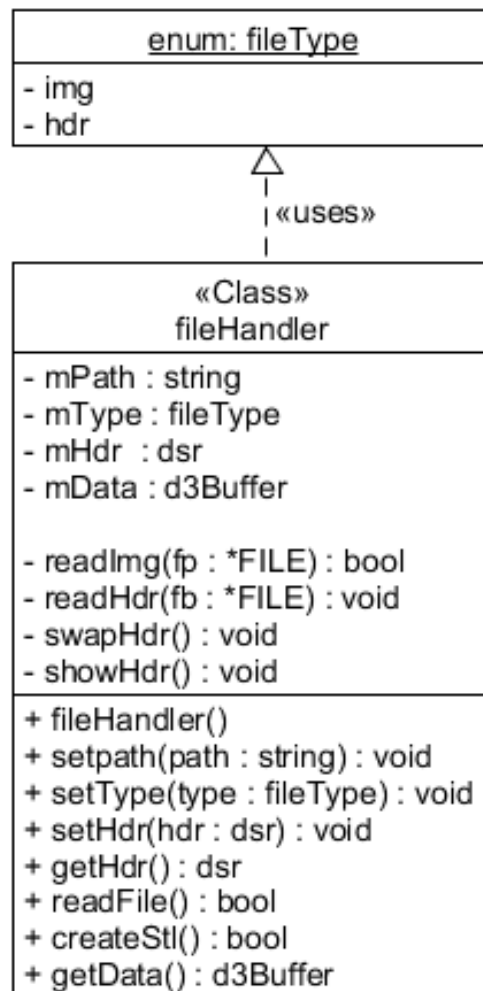


Abbildung 3.2: UML-Diagramm der fileHandler Klasse



**Programm 3.1:** Generierung einer STL-Datei

```
1  bool marchingCubes::GenerateStlFile(std::string path){
2      FILE *fptr = NULL;
3      fprintf(stderr, "Writing triangles ...\n");
4      if ((fptr = fopen(path.c_str(), "a+b")) == NULL) {
5          fprintf(stderr, "Failed to open output file\n");
6          return false;
7      }
8      char fileHeader[81] = "solid Test Head";
9      char bytes[3] = { 0x00, 0x00 };
10     fwrite(&fileHeader, sizeof(fileHeader)-1, 1, fptr);
11     fwrite(&ntri, sizeof(int), 1, fptr);
12     for (int i = 0; i < ntri; i++) {
13         fwrite(&tri[i].n[0], sizeof(float), 3, fptr);
14         for (int k = 0; k < 3; k++) {
15             fwrite(&tri[i].p[k], sizeof(float), 3, fptr);
16         }
17         fwrite(bytes, 2, 1, fptr);
18     }
19     fclose(fptr);
20     return true;
21 }
22
```

### 3.3 OpenGL

#### 3.3.1 Allgemein

#### 3.3.2 Schnittstelle (Klasse)

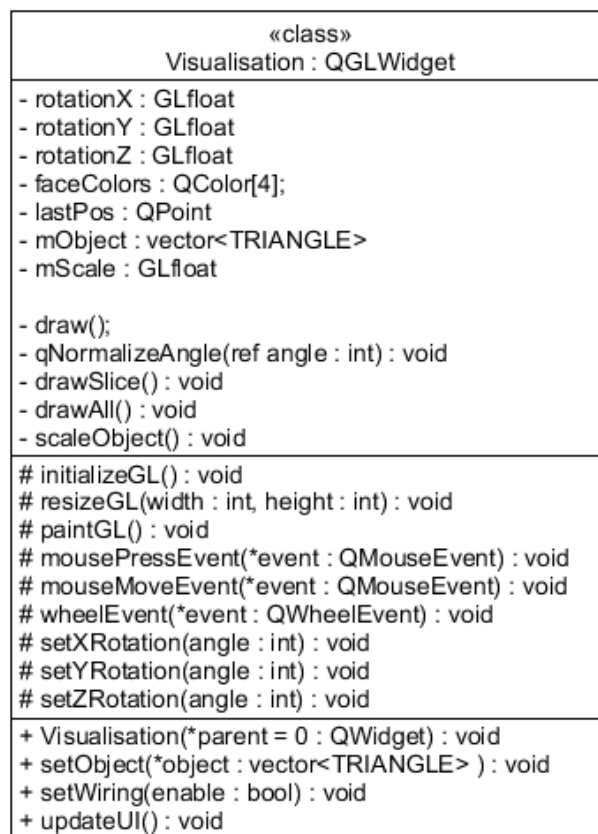


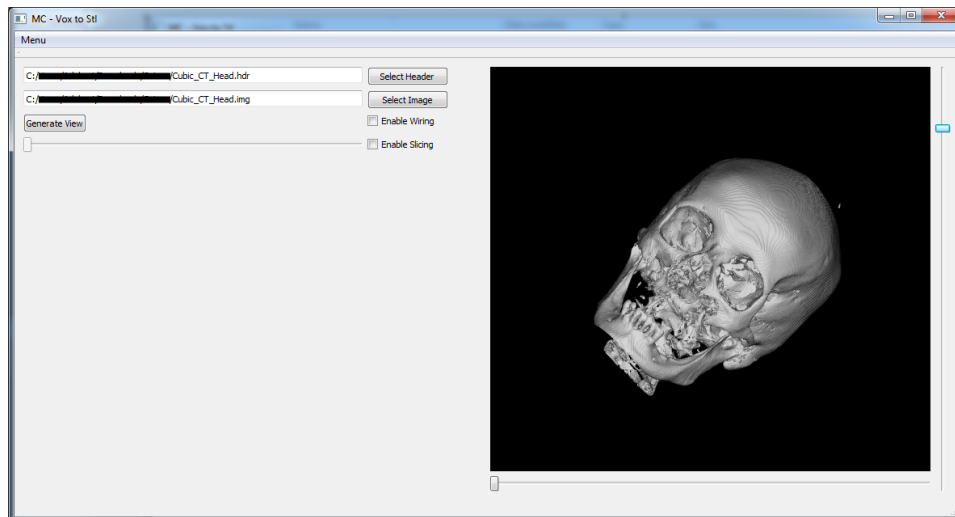
Abbildung 3.3: UML-Diagramm der Visualisation Klasse

#### 3.3.3 Auszüge Implementierung

### 3.4 Benutzeroberfläche

**Programm 3.2:** Berechnung der Normalen eines Dreiecks

```
1 void marchingCubes::CalcNormal(TRIANGLE &tri){
2     XYZ U;
3     XYZ V;
4     U.x = tri.p[1].x - tri.p[0].x;
5     U.y = tri.p[1].y - tri.p[0].y;
6     U.z = tri.p[1].z - tri.p[0].z;
7
8     V.x = tri.p[2].x - tri.p[0].x;
9     V.y = tri.p[2].y - tri.p[0].y;
10    V.z = tri.p[2].z - tri.p[0].z;
11
12    tri.n[0].x = (U.y * V.z) - (U.z * V.y);
13    tri.n[0].y = (U.z * V.x) - (U.x * V.z);
14    tri.n[0].z = (U.x * V.y) - (U.y * V.x);
15 }
```

**Abbildung 3.4:** Übersicht der Benutzeroberfläche

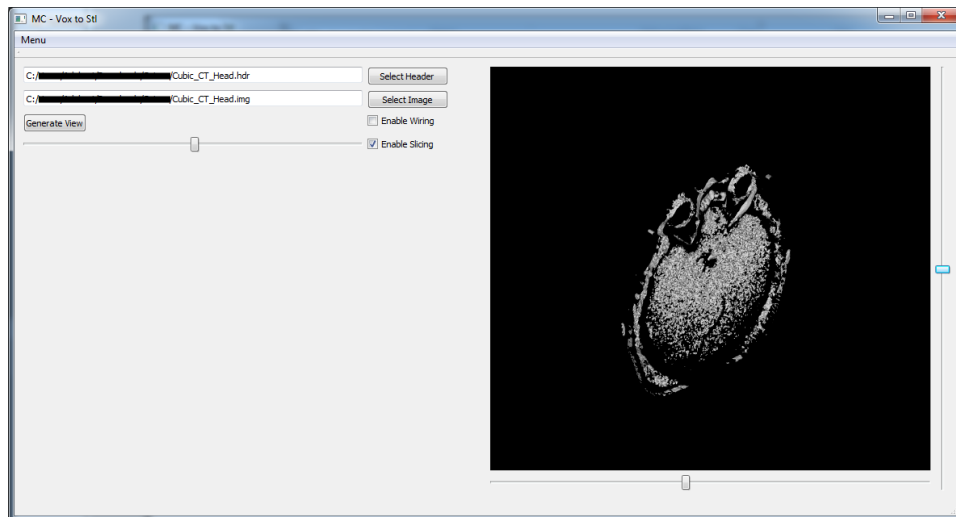


Abbildung 3.5: Programm Slicing aktiviert

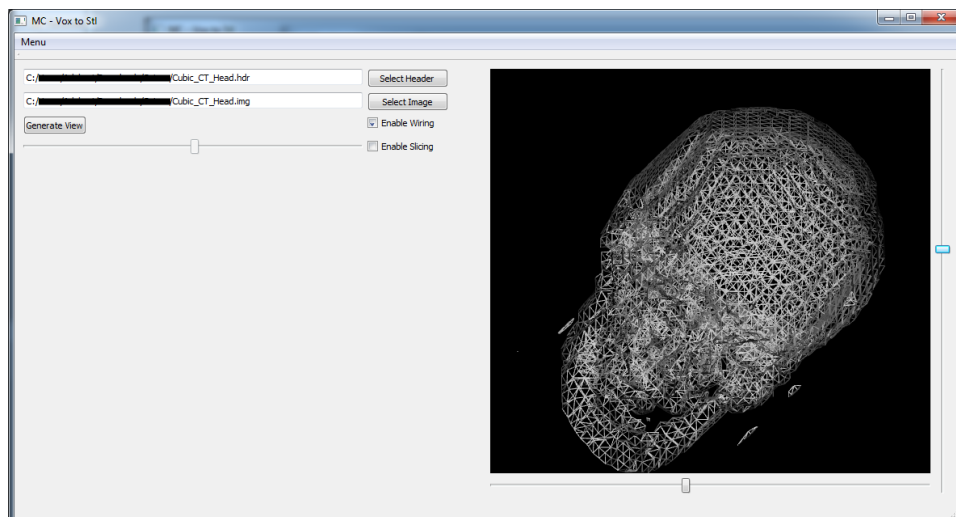


Abbildung 3.6: Programm Wiring aktiviert

## Kapitel 4

# Zusammenfassung

# Literaturverzeichnis

[Chua u. a. 1997] CHUA, Kai Chee ; GAN, K. J. G. ; TONG, Mei: *Interface between CAD and Rapid Prototyping systems. Part 2: LMI — An improved interface*. 13. Springer-Verlag, 1997

[Fabbers 2015] FABBERS: *The StL Format*. [http://www.fabbers.com/tech/STL\\_Format](http://www.fabbers.com/tech/STL_Format), 2015. – Besucht: 2015-09.08

[Hadel 2000] HADELS, Heinz: *Medizinische Bildverarbeitung*. 2. Springer-Verlag, 2000

[Hansen u. Johnson 2005] HANSEN, Charles D. ; JOHNSON, Chris R.: *The Visualisation Handbook*. Elsevier Academic Press, 2005

[Lorensen u. Cline 1987] LORENSEN, William E. ; CLINE, Harvey E.: *Marching Cubes: A High Resolution 3D Surface Construction Algorithm*. In: *Computer Graphics, Volume 21, Number 4* (1987)

[Mayo 2015] MAYO: *ANALYZE 7.5 File Format*. <https://portal.mayo.edu/bir/ANALYZE75.pdf>, 2015. – Besucht: 2015-09.08

[Segal u. Akeley 2009] SEGAL, Mark ; AKELEY, Kurt: *The OpenGL Graphics System: A Specification*. 3.1. <https://www.opengl.org/registry/doc/glspec31.20090324.pdf>, 2009

[Seibt 2014] SEIBT, Georg: *Oberflächenextraktion mittels des Marching Cubes Algorithmus*. Passau, 10 2014

[Shirley u. Marschner 2009] SHIRLEY, Peter ; MARSCHNER, Steve: *Fundamentals of Computer Graphics*. 3. Taylor & Francis Ltd, 2009

[Wollmann 2013] WOLLMANN, Thomas S.: *Entwicklung und Implementierung eines Marching Cube basierten Algorithmus zur punkterhaltender Triangulation von Konturen mit Subpixel-Auflösung*. Heilbronn, 08 2013

# Anhang A

## Inhalt der CD-ROM

**Format:** CD-ROM, Single Layer, ISO9660-Format

### A.1 PDF-Dateien

**Pfad:** /

\_DaBa.pdf . . . . . Bachelorarbeit mit Instruktionen  
(Gesamtdokument)

### A.2 LaTeX-Dateien

**Pfad:** /

\_DaBa.tex . . . . . Diplom-/Bachelorarbeit (Hauptdokument)  
kurzfassung.tex . . . . . Kurzfassung  
abstract.tex . . . . . Abstract  
einleitung.tex . . . . . Kapitel 1  
einfuehrung.tex . . . . . Kapitel 2  
umsetzung.tex . . . . . Kapitel 3  
zusammenfassung.tex . . . . . Kapitel 4  
anhang\_a.tex . . . . . Anhang A ((Inhalt CD-ROM)  
literatur.bib . . . . . Literatur-Datenbank (BibTeX-File)

### A.3 Style/Class-Dateien

**Pfad:** /

hgbthesis.cls . . . . . LaTeX Class-Datei für Master- und  
Bachelorarbeiten

hgb.sty . . . . . LaTeX Style-Datei für alle  
Hagenberg-Dokumente

## A.4 Implementierung

**Pfad:** /MarchingCubesVisualisation

/Release . . . . . Beispielprogramm und benötigte .dll Dateien  
marchingCubes.h . . . .  
marchingCubes.cpp . .  
fileHandler.h . . . . .  
fileHandler.cpp . . . . .  
visualisation.h . . . . .  
visualisation.cpp . . . .  
mainwindow.h . . . . .  
mainwindow.cpp . . . .  
mainwindow.ui . . . . .  
main.cpp . . . . .  
dbh.h . . . . .  
tabels.h . . . . .  
MCV.pro . . . . . QT5 Projekt

## A.5 Sonstiges

**Pfad:** /images

\*.jpg, \*.png . . . . . Original Rasterbilder

**Pfad:** /umlDiagrams

\*.uxf . . . . . Original UML-Diagramme